

II-46 造波装置とその生成波に関する実験的研究

京大工教養 正員 野田英明
運輸省 正員 大根信義

概要：本研究は、Flutter および Plunger 式造波機の機能とその生成波の水理学的特性との関連を実験的に解析し、従来の理論と比較しながら考察をすこめ、理論の適用限界を検討し、さうして、二の結果を用いて、造波機設計上の基本的指針を水理学的観点から与えようとするものである。

実験装置および方法：長さ 24m、中 0.5m の両面ガラス張り水槽を用いて実験を行ひ、水深は 0.6m とした。Flutter 式造波機の周期は 0.60~2.40 秒まで連続的に変えられ、静水面における造波板の振巾は 15, 30 および 45 cm を用ひた。Plunger 式造波機の周期は 0.81~1.20 秒まで連続的に変えられ、造波体の半径は b , 10, 15, 20 および 25 cm を用ひ、その振巾は、0.5~3.0 cm で適當に選び、両造波機とも動力として 5HP の電動モーター用ひた。測定した諸量のうち、波高および波形は、電気抵抗式波高計によってとりだし、ペン書きオシログラフに自記させ、水面の水粒子の軌跡を、固体浮子を浮かべ、カメラで断続的に撮影して、この方法では浮子が水粒子の運動に正確に追隨しないという問題点があり、ここでは参考資料として扱つた。

実験結果とその考察：(a) Flutter 式造波機による生成波；波高と造波体の最大変位との比 η を縦軸に、周期 T を横軸にとり、Biesel の生成波理論(図中の実線)と比較したのが図 1 である。この図から、周期がある値より大きい範囲では、実験値と理論曲線とはよく一致している。しかし、実験値の方がやや小さい。この原因として、造波板と側壁との間の漏れ、側壁の摩擦による波高減衰などが考えられる。一方、周期がある値より小さくなると、実験値は急激に小さくなり、傾向方より理論曲線と適合しない。この現象が始まる周期は振巾によつて異なり、しかも、波形が permanent type ではなく permanent type でない場合と、実験中観察された。この原因は造波板近辺の碎波にむづくと考えられ、一応、太田水粒子の最大水平速度が波速に等しくなると碎波有るとして、この領域を定めると、図 1 の点線より上の領域となる。したがって、この領域では permanent type の波が起らなくなると考えられる。しかし、実験結果はこの領域外でも可なり減衰をはじめ、permanent type の波が起らる範囲を、さうに限定されていいる。以上のように見て、Flutter 式造波機の生成波が permanent type である範囲は、しかばん下によつて限定されることがわかる。

(b) Plunger 式造波機による生成波；縦軸は η 、横軸は T 。(a は円筒の半径、 L は深海波長)をとり、 $\eta(h)$ (h : 水深)を parameter として Ursell の理論(図中の実線)と比較すると、図 2 のようになり、 $\eta_0 = 10$ および $\eta_0 = 4$ の場合を示す。この図から、Flutter 式造波機の場合と較べると、分界線より上のものが大きい。しかし一般に、20% の値が小さくとこども、理論とかなり一致している。だが、20% の値が大きくなるとこれ以上、振巾によつて波高振巾比の傾向がかかる、上の値が小さくなる。

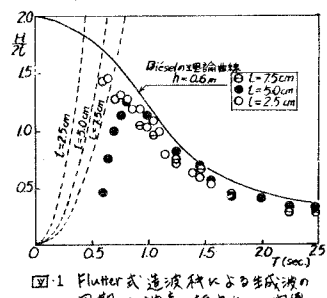


図 1 Flutter 式造波機による生成波の周期と波高-振巾比の関係

いほど、 η_a の値は大きくなることわかる。しかし、 25% がある値以上になると、 η_a の値は急激に減少をはじめ、Flutter式造波機の場合と同様、Permanent type の波ではなくなる。したがって、上と同様に、破波条件によって、二の領域を求めるに図2に示す無限より上の領域とする。しかし、図からわかるように、 η_a の値は、二の領域外でも、直ぐに減少をはじめている。さうに種々の η_a の値について検討すると、 η_a の値が減少をはじめする 25% の値は、 η_a の値が大きいほど、大きくなっている。以上より可知る、Plunger 式造波機の生成波が、permanent type の波である範囲は、 η_a とお下の T によって限界されることがわかる。

以上、造波板または造波体の振動周期を短くして、突然生成波形が変化し、permanent type の波ではなくなる。この周期すなわち生成波限界周期に注目し、生成波の水理学的特性の一つである波形から検討を加える。

Flutter式造波機の場合と、生成波が permanent type の波である範囲では一般に周期が小となる傾向があるが、 $Stiffness H/L$ が大きくなる。これに対して、波形(一層における水面の時間的変動)は、微小振幅理論に適合する波から、有限振幅理論に適合する波へと変化するが、本実験においては、有限振幅理論に適合する波形は、限界周期に近づくにつれてかかわる範囲でえられる。

Plunger式造波機の場合にも、造波体の振動周期を換算して検討すれば、Flutter式造波機の場合とまことに同じ傾向がみられる。ただし、有限振幅理論に適合するとかかわる波がおこる範囲はさらに大きい。このことは、Plunger 式造波機の場合、波高の最大値が小となり、 H/L の最大値も小となるためと考えられる。

以上、述べた波形から水力学的傾向と、水粒子の軌跡による実験結果とも明らかであるが、シミュレーションを行なう。

結論：Biesel および Ursell の生成波理論は、造波体の振動が微小で、その生成波は微小振幅理論に適合すると思定している。したがって、実験結果から明らかなように、限界周期よりわずかに大きい周期、すなわち、有限振幅理論に適合する波が生じる範囲では、この理論は適用できないことになる。そこで、実験結果から、生成波が permanent type でなく限界周期を検討し、造波体の振幅と水深との比 L/H を横軸に、周期を縦軸にとり、限界周期を示したのが図3である。この図から、実験値は図中の点線で示す曲線上にある。したがって、この点線より上の領域では permanent type の波が起らす、点線の下側では permanent type でなく有限振幅理論に適合する波が生成される。ただし、実験資料の数が少ないので明確な判断がつかず、今後広範囲な実験的研究を進める必要がありう。

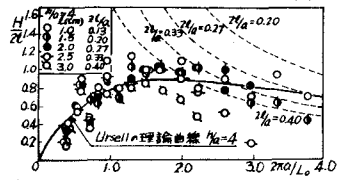
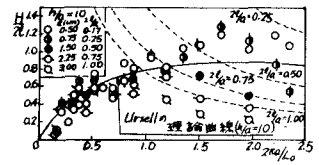


図2 Plunger式造波機による生成波の 25% の波高-振幅比の関係

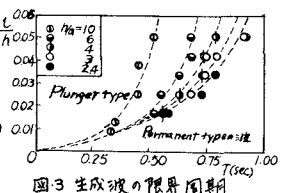
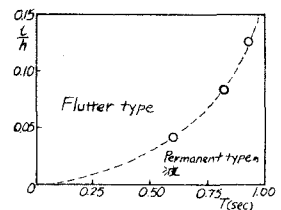


図3 生成波の限界周期